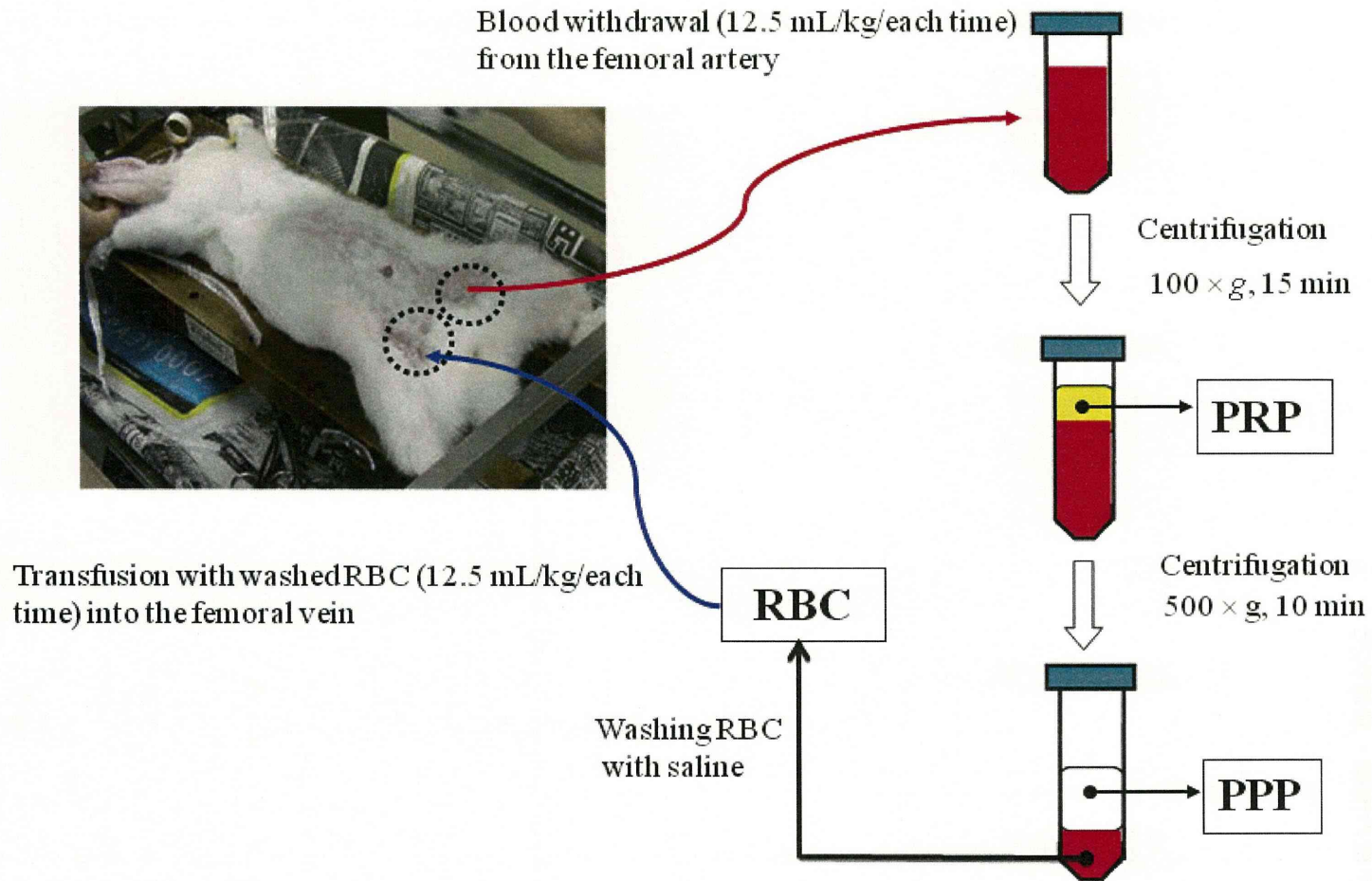


- 司：多糖ナノシートからなる薬物担持ナノシートの抗炎症効果. 第 31 回日本バイオマテリアル学会大会, 2009, 京都.
39. 下野浩貴, 岡村陽介, 藤枝俊宣, 木下学, 武岡真司：断片化ポリ乳酸ナノシートの再構成と細菌透阻止能評価. 第 31 回日本バイオマテリアル学会大会, 2009, 京都.
40. 藤枝俊宣, 松谷哲行, 木下学, 岡村陽介, 齋藤晃広, 武岡真司：高分子超薄膜からなる新規創傷被覆材の開発. 第 18 回ポリマー材料フォーラム, 2009, 東京.
41. 下野浩貴, 岡村陽介, 藤枝俊宣, 木下学, 武岡真司：ポリ乳酸ナノシートの構築とマウス胃切開モデルを用いた創傷被覆効果. 日本化学会 第 3 回関東支部大会, 2009, 東京.
42. 1. 西川可穂子, 木下学, 萩沢康介, 庄野聡, 勝野俊介, 宮崎裕美, 小野聡, 阪本敏久, 齋藤大蔵, 関修司：人工血小板 H12(ADP)リポソームを用いた外傷性大量出血に伴う血小板減少時の止血制御に関する研究. 第 25 回日本 shock 学会総会 2010, 東京.(日本 Shock 学会雑誌, p52: 25, 2010)
43. 2. 西川可穂子, 木下学, 萩沢康介, 庄野聡, 勝野俊介, 宮崎裕美, 小野聡, 齋藤大蔵, 関修司, 阪本敏久：外傷性大量出血時の大量輸血に伴う血小板減少に対して人工血小板 H12(ADP)liposome を用いた止血制御効果. 第 17 回日本血液大体物学会 2010, 熊本.(人工血液 p75: 18, 2010)
44. 3. 萩沢康介, 松下芳太郎, 勝野俊介, 西川可穂子, 庄野聡, 木下学, 齋藤大蔵：人工血小板による止血制御. 第 56 回防衛衛生学会 2011, 東京.(防衛衛生, p56:58, 2011)
45. 4. 庄野聡：外傷性大量出血時の大量輸血に伴う血小板減少に対して人工血小板 H12(ADP)liposome を用いた止血制御効果. 第 16 回日本集団災害学会, 2011, 大阪.(集団災害医学会雑誌, p399:15, 2011)
46. 西川可穂子, 木下学, 萩沢康介, 庄野聡, 勝野俊介, 宮崎裕美, 小野聡, 阪本敏久, 齋藤大蔵, 関修司：大量出血に伴う急性血小板減少病態に対する人工血小板 H12(ADP)リポソームを用いた止血救命対策. 第 26 回日本 shock 学会総会 2011, 浜松.(日本 Shock 学会雑誌, p55: 26, 2011)
47. 萩沢康介, 木下学, 西川可穂子, 庄野聡, 勝野俊介, 鈴木英紀, 齋藤大蔵, 関修司：急性血小板減少病態における H12(ADP)liposome の臓器出血部位への集積と止血制御効果. 第 18 回日本血液大体物学会 2011, 札幌.(人工血液 p73: 19, 2011)
48. 萩沢康介, 木下学, 西川可穂子, 庄野聡, 齋藤大蔵, 勝野俊介, 西田育弘：大量出血時の血小板減少性易出血病態での外傷性肝出血と人工血小板による止血救命効果. 第 48 回日本腹部

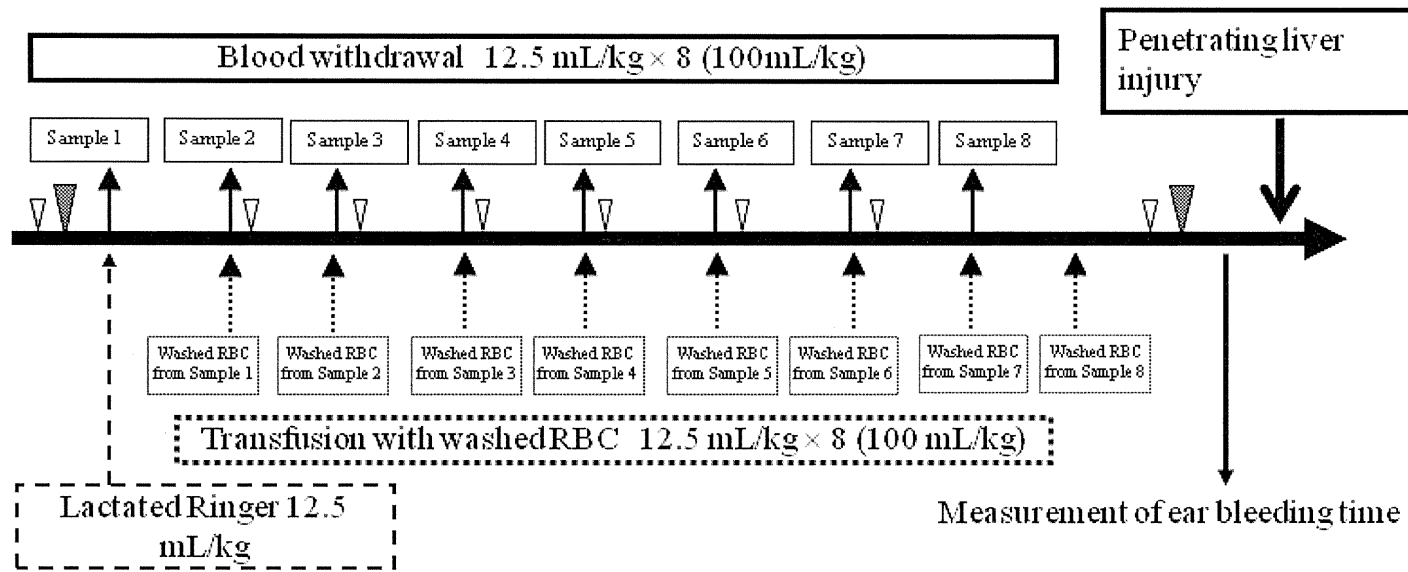
救急医学会総会 2012, 金沢. (日本腹部救急医学会雑誌、p365:32, 2012)

H. 知的財産権の出願・登録状況

なし



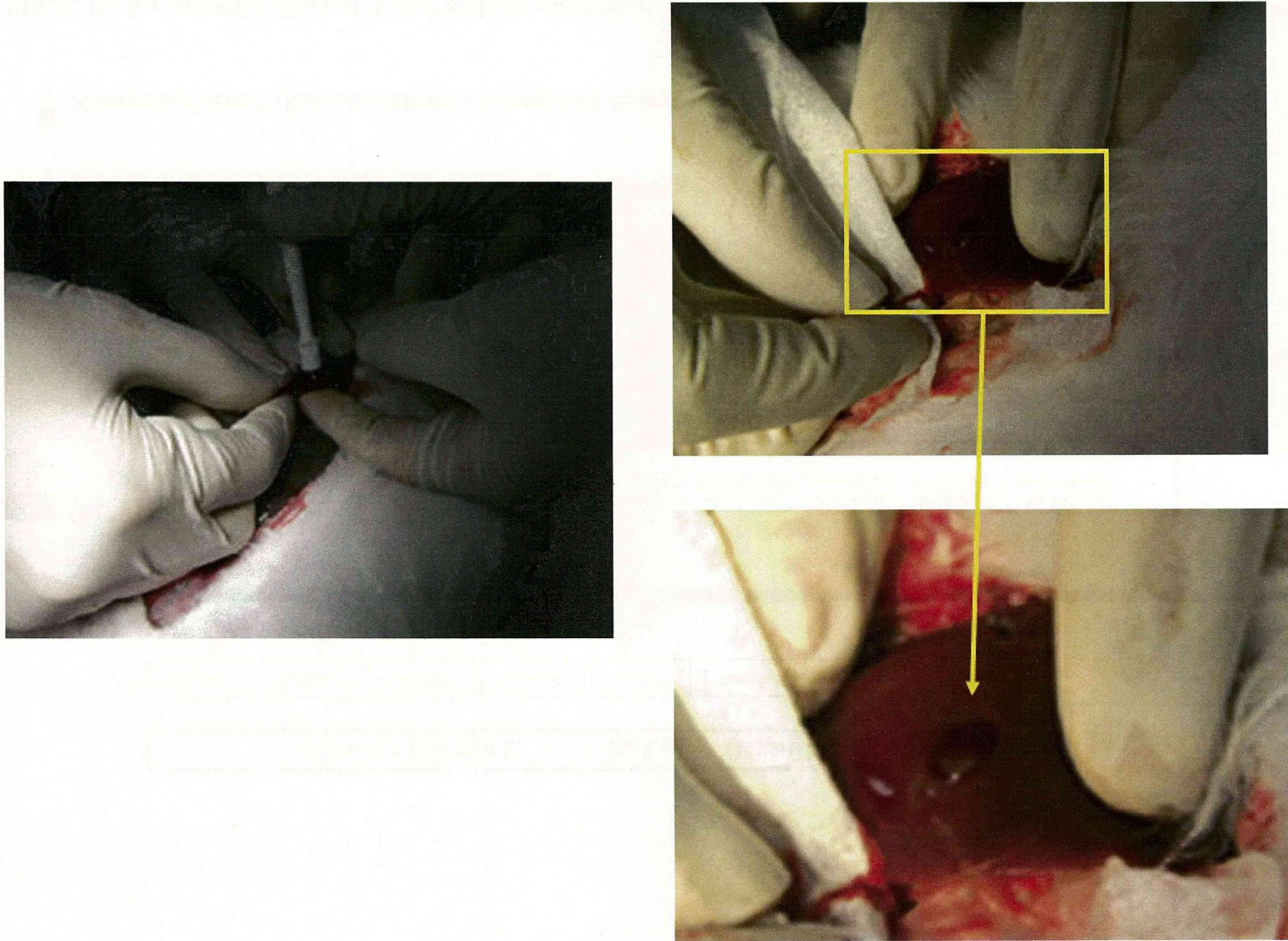
**Fig. 1.** Scheme of blood withdrawal from rabbits; preparations of PRP, PPP, and washed RBC, and transfusion of washed RBC into rabbits.



▽ Sampling blood (0.1mL) to count plt, WBC, and Hb

▽ Sampling blood (8 mL) to measure coagulation factors, Sonoclot assay

**Fig. 2.** Experimental design of blood withdrawal/transfusion and following H12 (ADP) liposome administration



**Fig. 3.** penetrating liver injury (hollowing out) using Derma punch

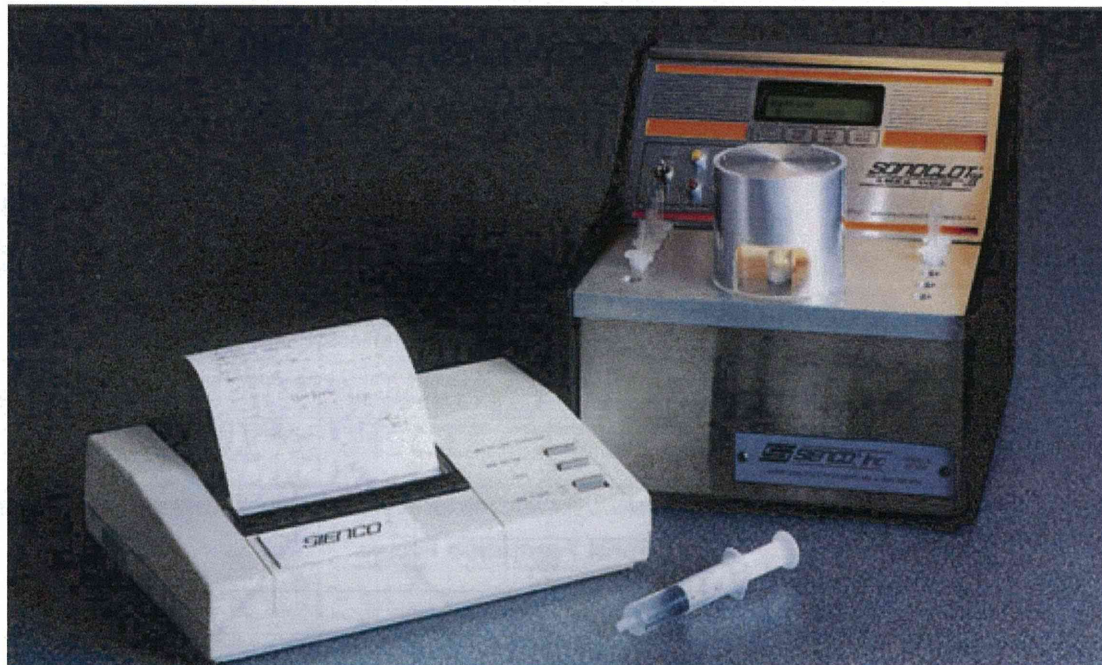
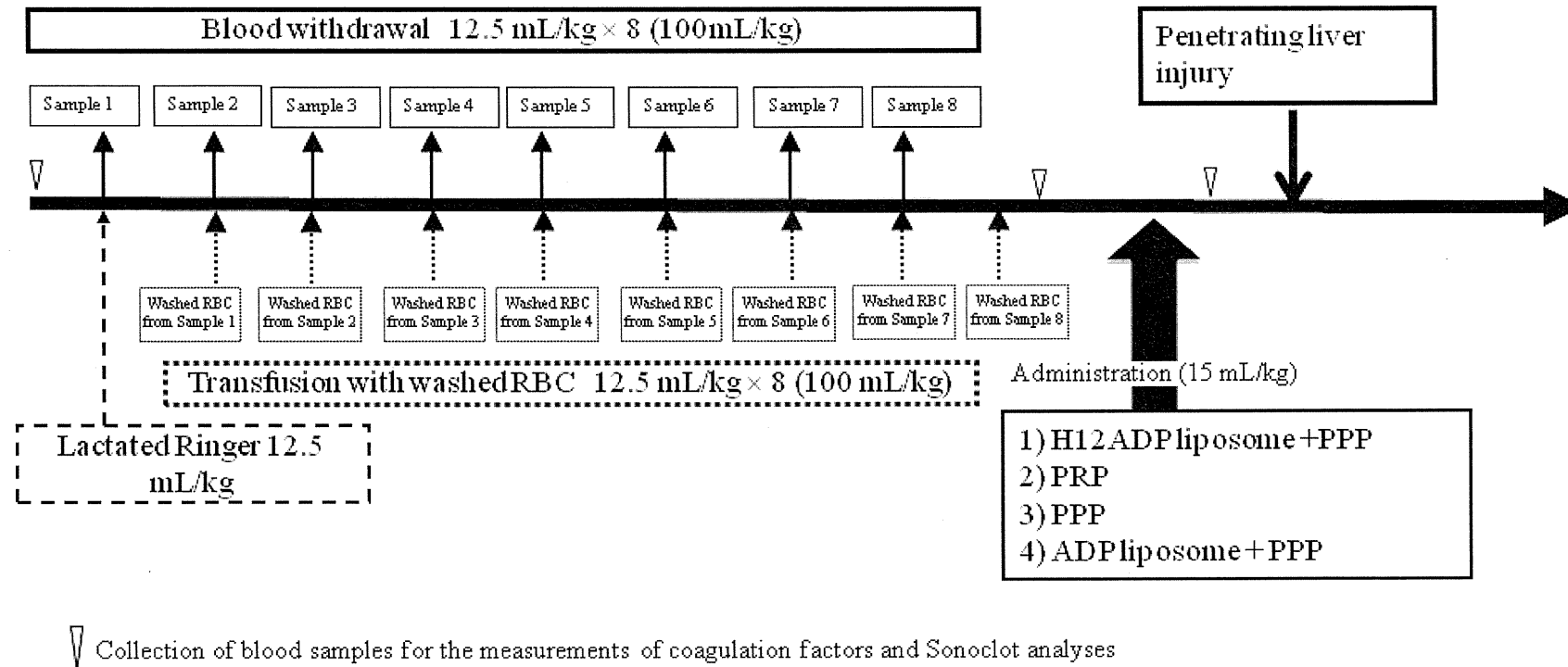


Fig. 4. Sonoclot™



▽ Collection of blood samples for the measurements of coagulation factors and Sonoclot analyses

**Fig. 5.** Experimental design of blood withdrawal/transfusion followed by transfusion of H12-(ADP)-liposome after penetrating liver injury.



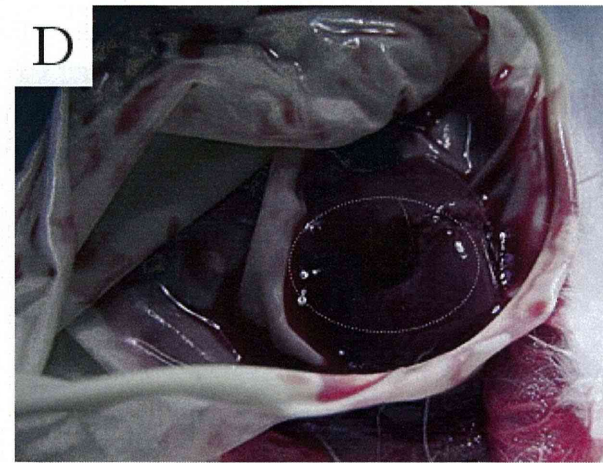
Penetrating liver injury



Liver hemorrhage (immediately after injury)

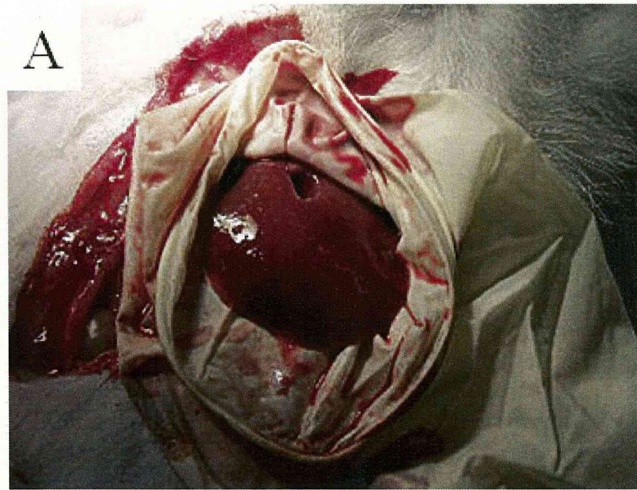


H12-(ADP)-liposomes/PPP (at 10 min)



PPP (at 10 min)

**Fig. 6.** Non-compressible liver hemorrhage in thrombocytopenic rabbits. (A) Penetrating liver injury using DermaPunch. (B) Liver hemorrhage from the injured site immediately after injury. Liver hemorrhage in the H12-(ADP)-liposomes/PPP-transfused (C) or PPP-transfused (D) rabbits 10 min after injury. Representative data with similar results from ten rabbits in H12-(ADP)-liposomes/PPP or PPP group are shown (C, D).



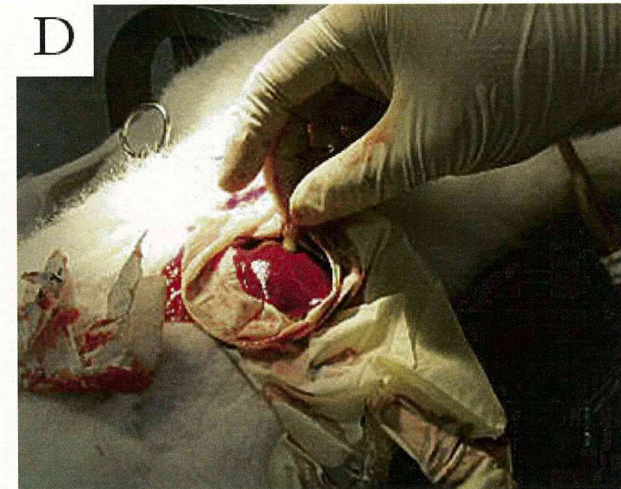
Liver bleeding from the penetrating liver injury



Hemostasis by balloon compression (setting in a lesion)

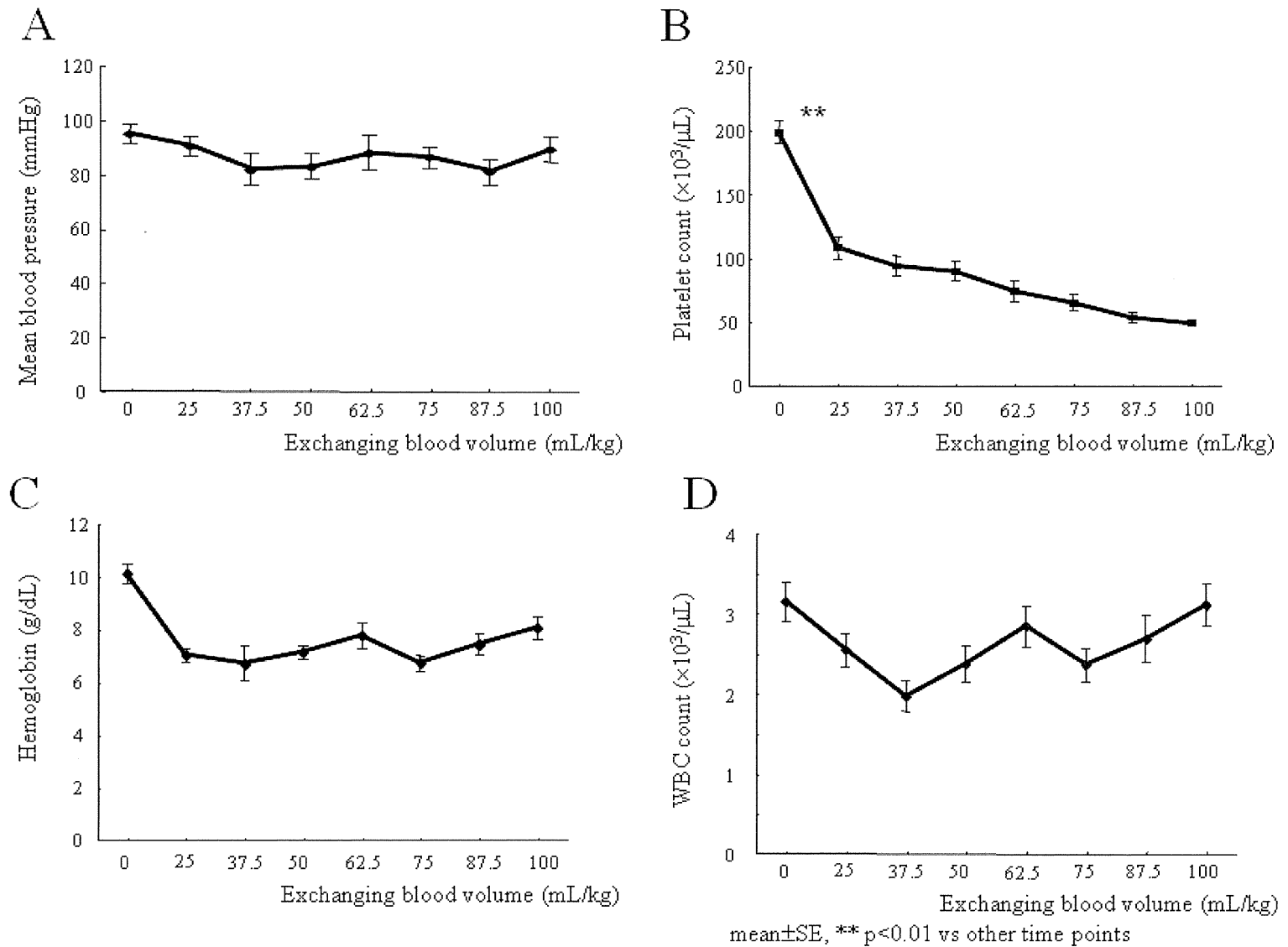


Hemostasis by balloon compression (balloon clamping)

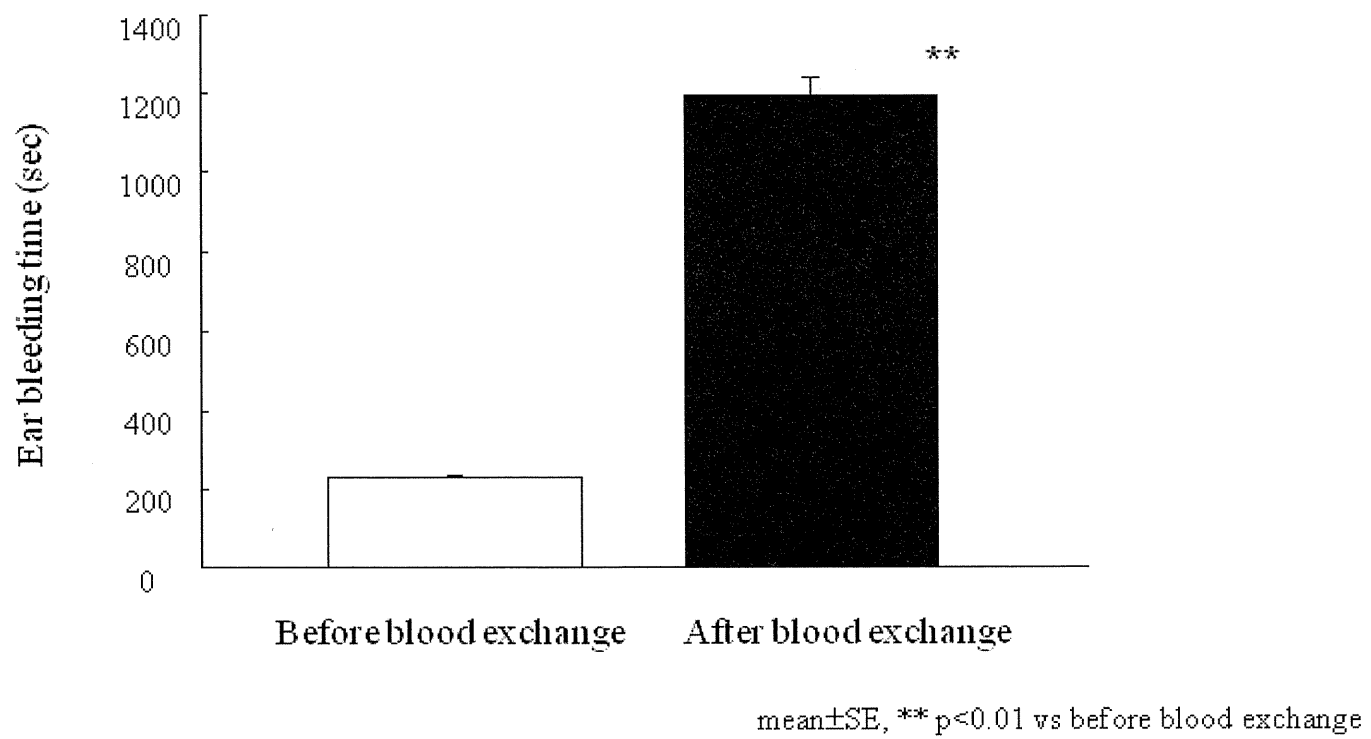


Hemostasis by balloon compression (balloon declamping)

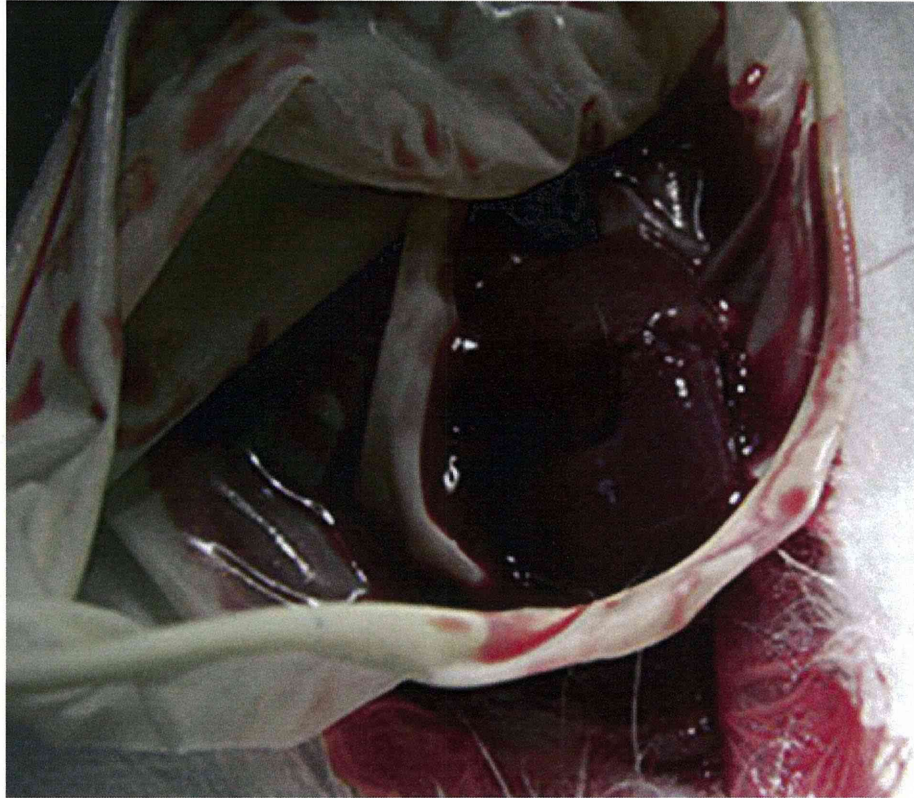
**Fig. 7.** Hemostasis by balloon compression. (A) Penetrating liver injury site before hemostasis. (B-D) Hemostasis of penetrating liver injury using balloon compression of indwelling urethral catheter.



**Fig. 8.** Change of hematological parameters and blood pressure during blood withdrawal/transfusion

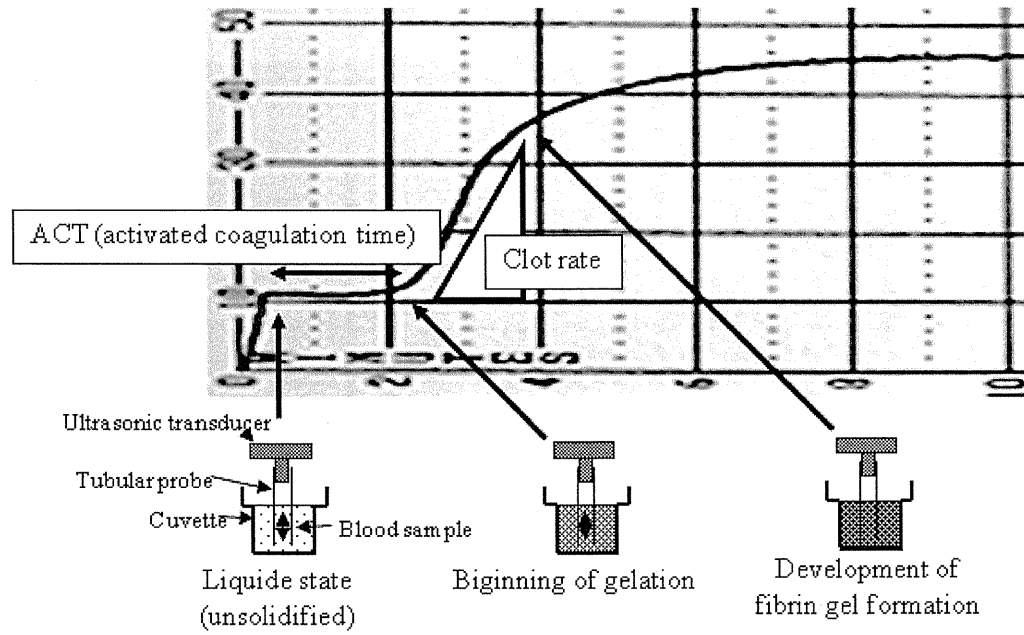


**Fig. 9.** Ear bleeding time before and after blood exchanges



**Fig. 10.** Liver bleeding from the perforating injury in the acute thrombocytopenic rabbit

A



B

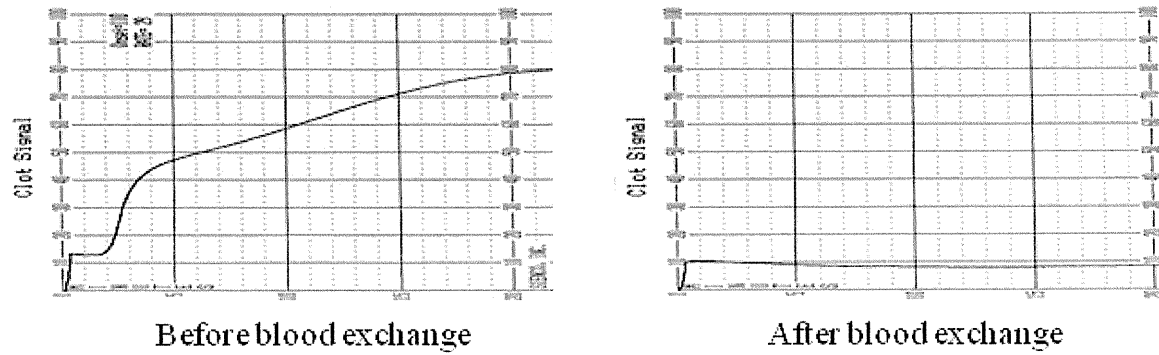
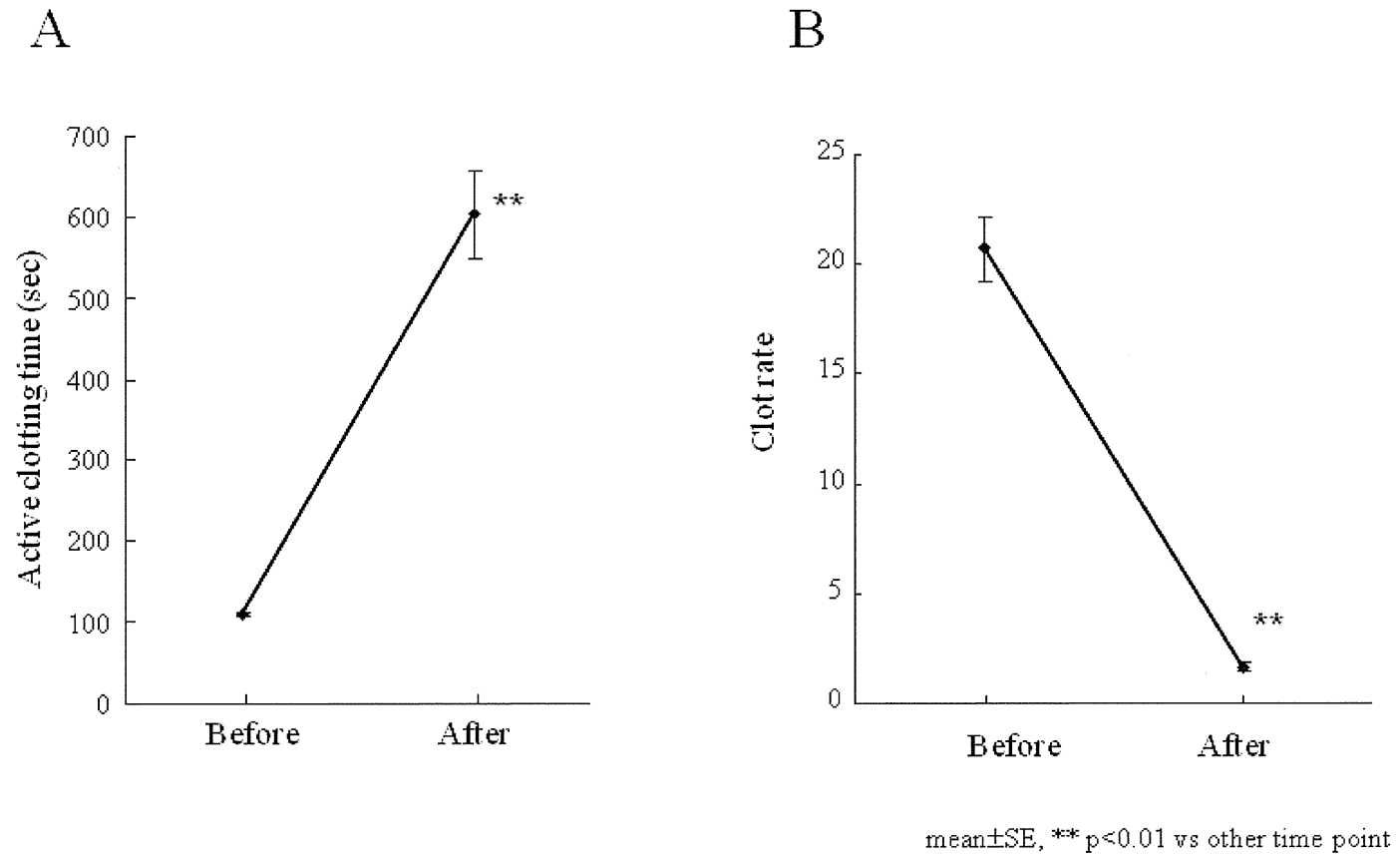
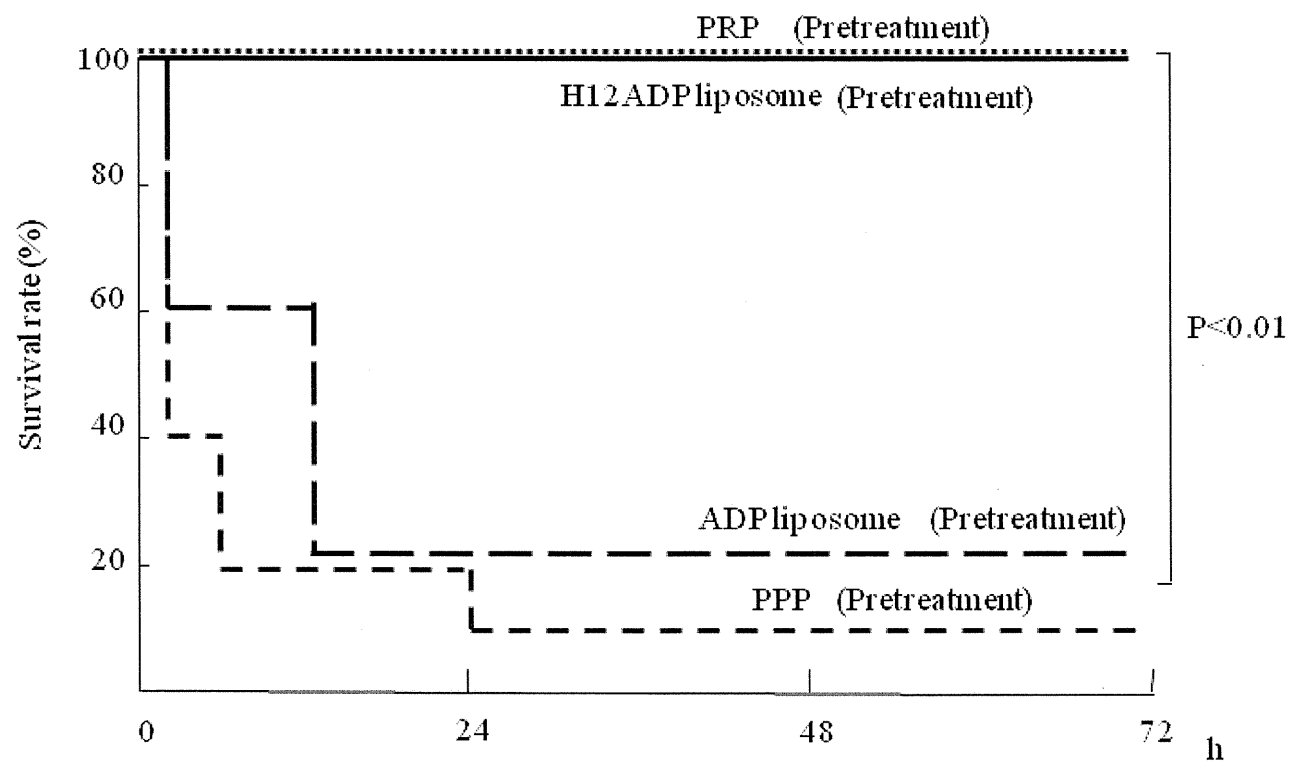


Fig. 11. Analyses of activating clotting time and clot rate using Sonoct



**Fig. 12.** Analyses of activating clotting time and clot rate before and after blood exchanges



**Fig. 13.** Survival rates after liver hemorrhage in the acute thrombocytopenic rabbits

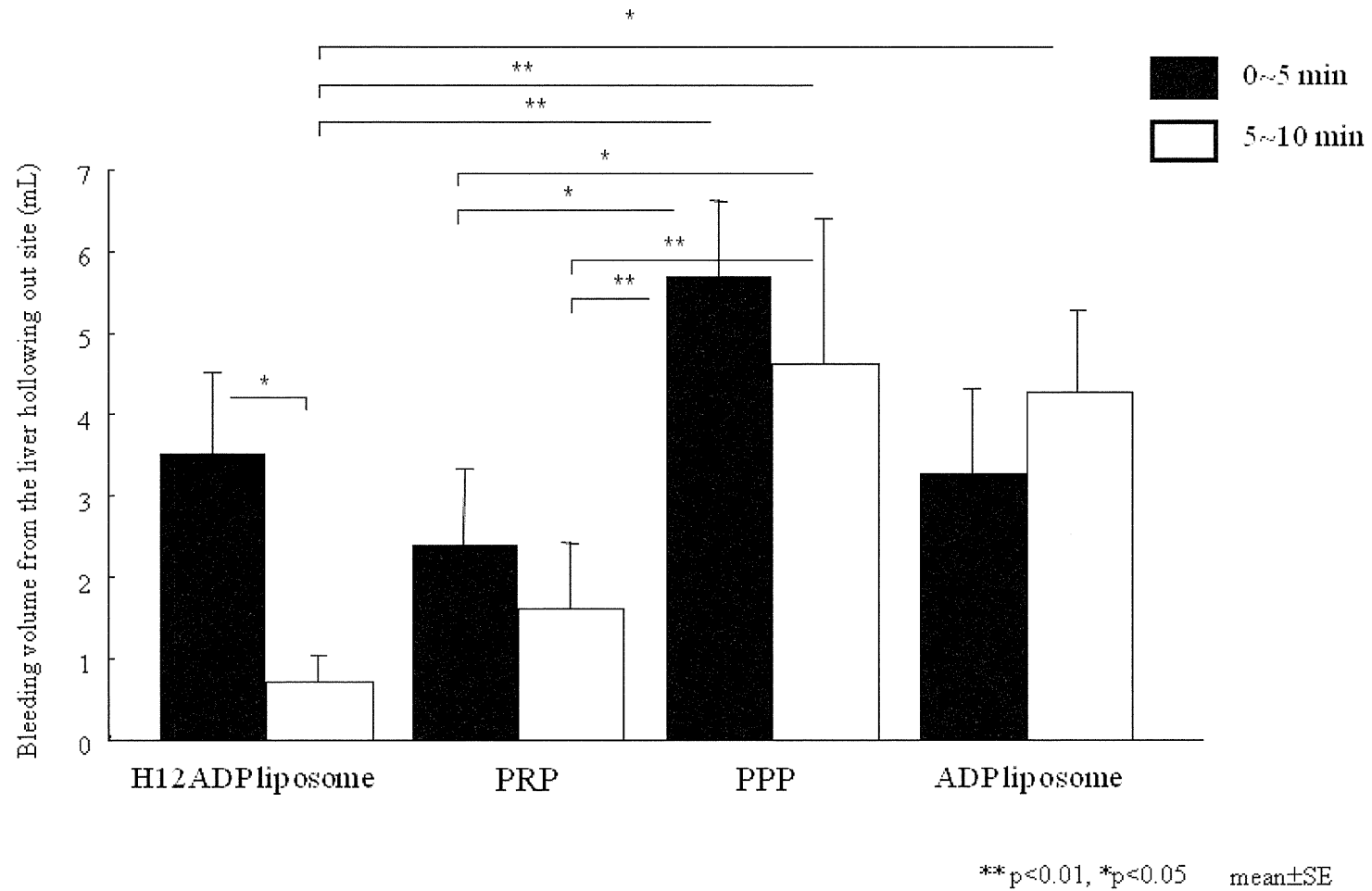
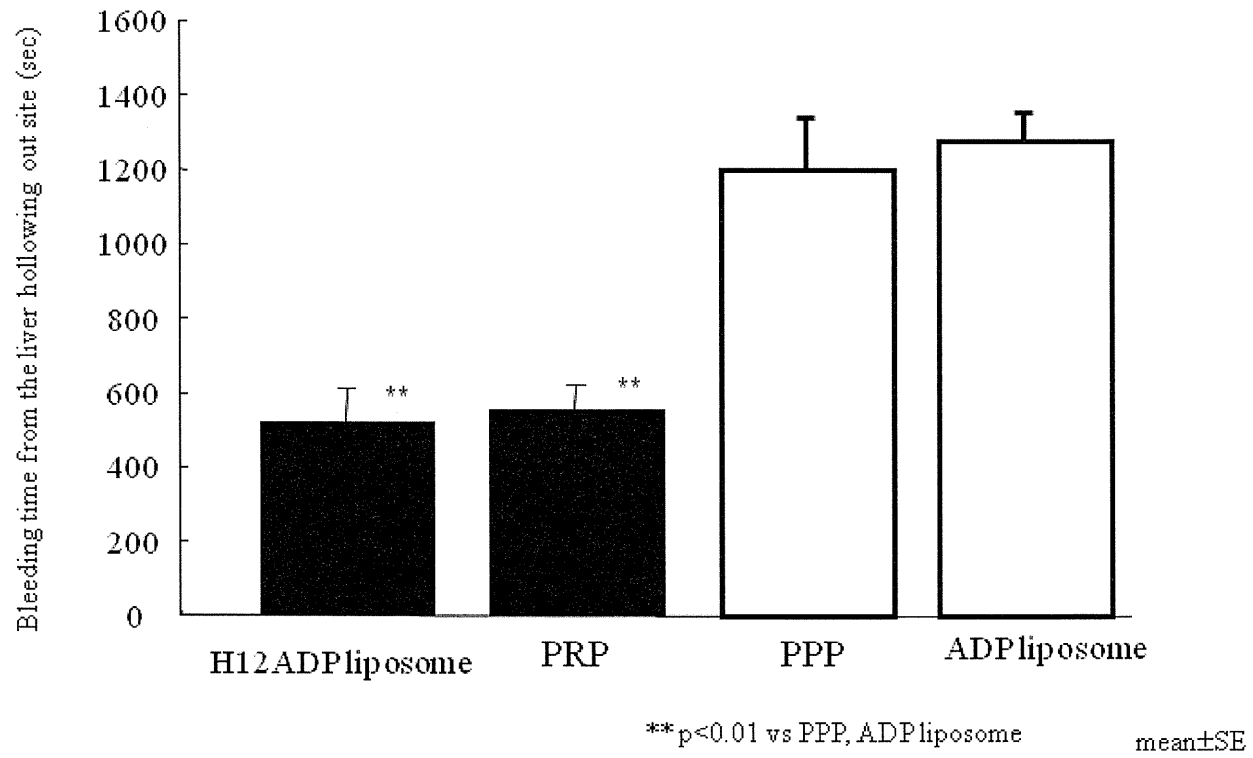
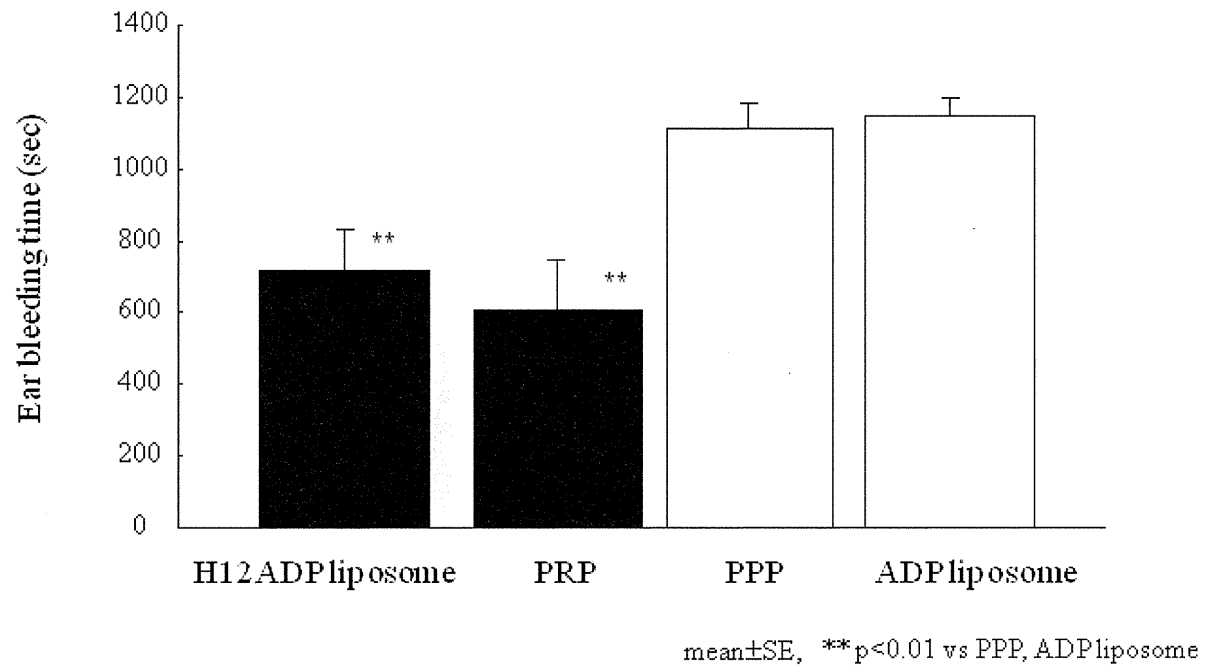


Fig. 14. Bleeding volume from the liver hollowing out site

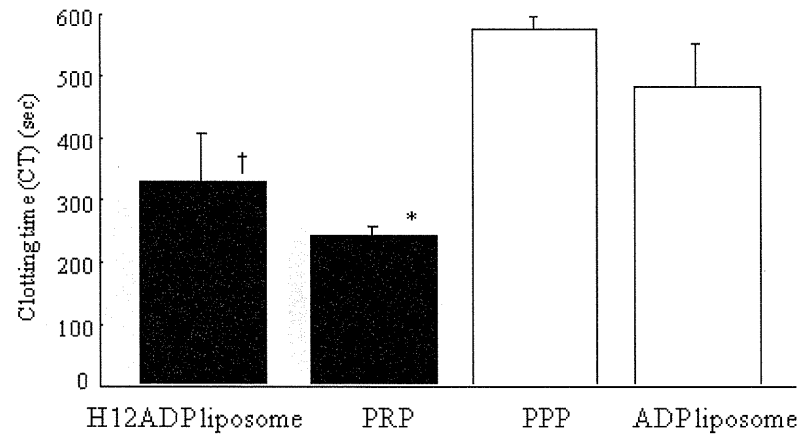


**Fig. 15.** Bleeding time from the liver hollowing out site

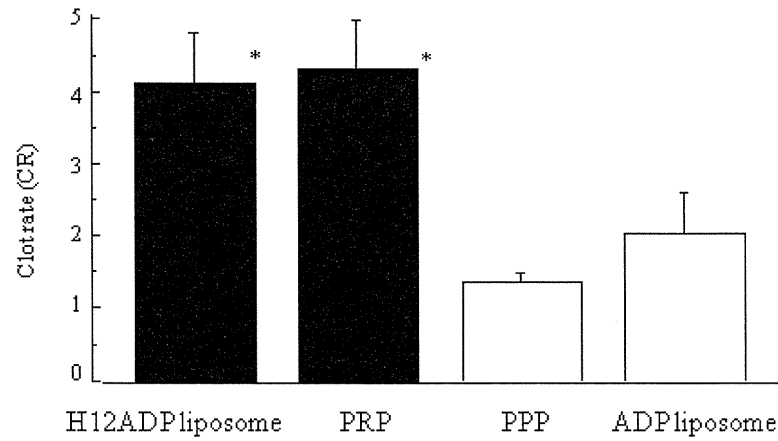


**Fig. 16.** Ear bleeding time before and after blood exchanges

A



B



mean±SE

\*\*p<0.01, \*p<0.05 vs PPP

**Fig. 17.** Change of active clotting time and clot ratio

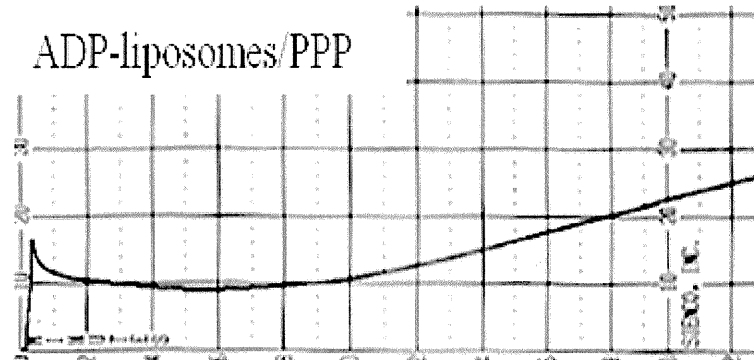
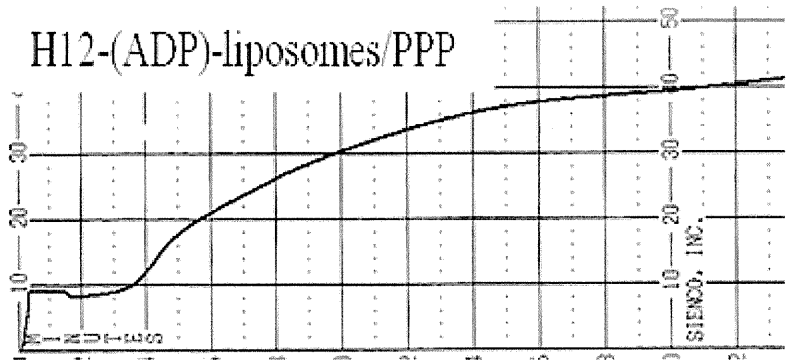
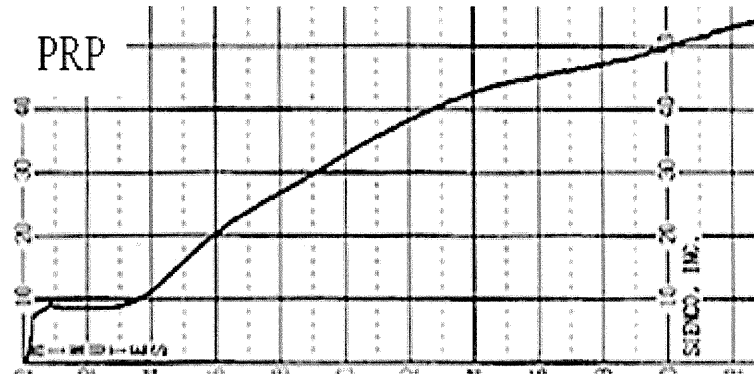
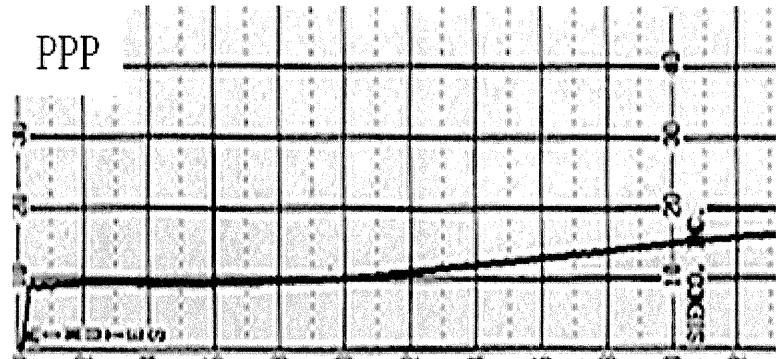


Fig. 18. Analyses of activating clotting time and clot rate using Sonoclt in the thrombocytopenic rabbits